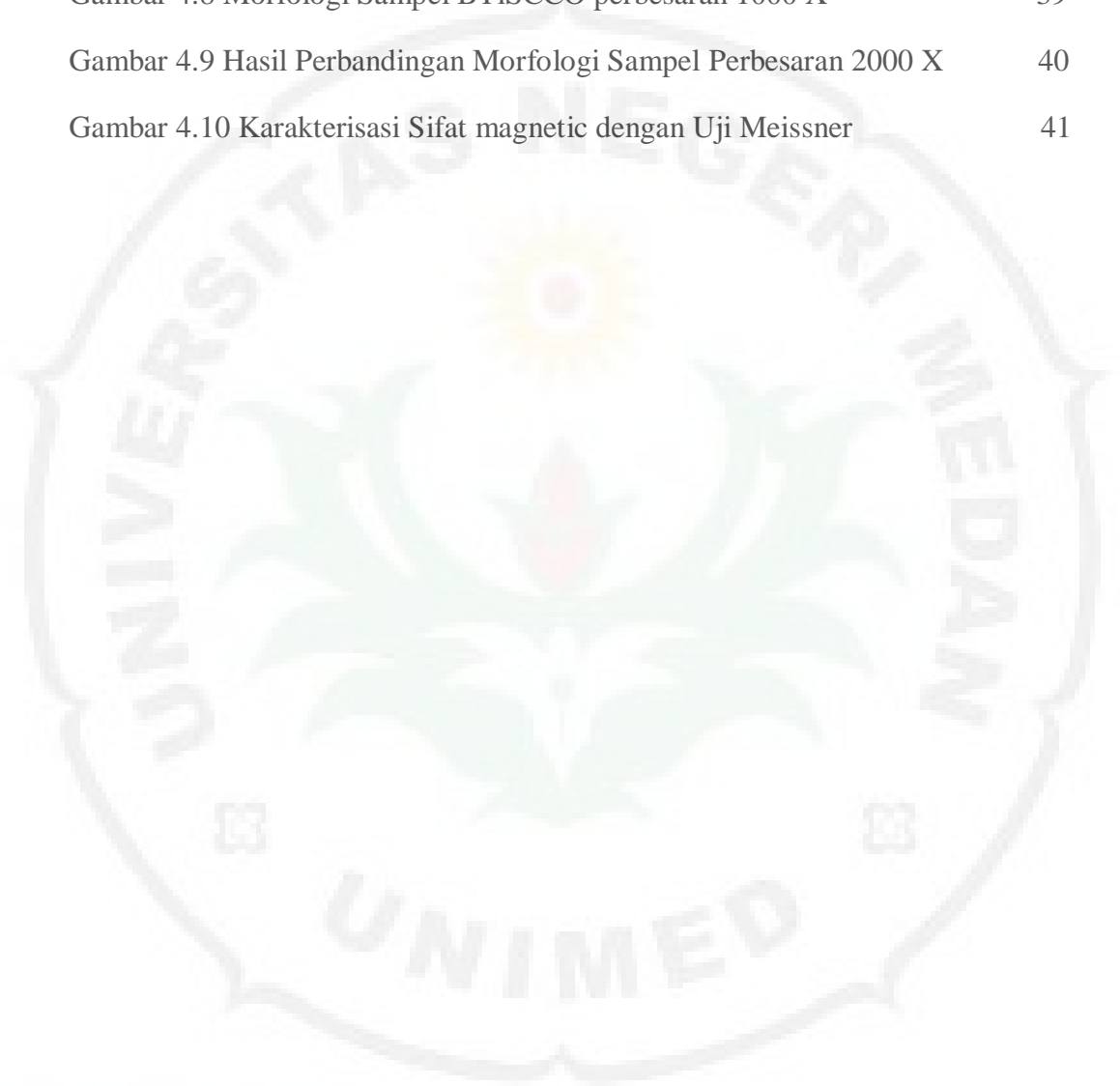


## DAFTAR GAMBAR

	Halaman
Gambar 2.1. Berdasarkan Perubahan Temperatur, Hambatan Menjadi Nol	5
Gambar 2.2. Struktur dari BSCCO	10
Gambar 2.3. Struktur Kristal Orthorombik Fasa Bi-2223	11
Gambar 2.4. Penurunan Bertahap Resistivitas Mendekati Suhu Kritis $T_c$	16
Gambar 2.5. Hubungan antara resistivitas dengan suhu	17
Gambar 2.6. Garis-Garis Medan Magnet Disekitar Bidang Superkonduktor Dalam Medan Magnet Konstan	18
Gambar 2.7. Kristal YBCO pada kurva histeris	20
Gambar 2.8. Superkonduktor Mengalami Efek Meissner	21
Gambar 2.9. Hasil karakterisasi XRD $Ti_3SiC_2$	23
Gambar 3.1. Menimbang Bahan Menggunakan Alat Timbangan Digital	28
Gambar 3.2. Menggerus Bahan Menggunakan Mortar Dan Pastel	28
Gambar 3.3. Mencampur Bahan Di dalam Mortar	29
Gambar 3.4. Proses Pemanasan Pertama Menggunakan Furnace	29
Gambar 3.5. Proses Kalsinasi Menggunakan Furnace	30
Gambar 3.6. Penggerusan Kedua Menggunakan Mortar Dan Pastel	30
Gambar 3.7. Proses Sintering Pada Suhu Bertahap	31
Gambar 4.1. Hasil Eksperimen Uji XRD Bahan BSCCO dan BTiSCCO	34
Gambar 4.2 Hasil perbandingan XRD sampel BSCCO	34
Gambar 4.3 Hasil perbandingan XRD sampel BTiSCCO	36
Gambar 4.4 Morfologi Sampel BSCCO perbesaran 500 X	37
Gambar 4.5 Morfologi Sampel BSCCO perbesaran 1000 X	38
Gambar 4.6 Morfologi Sampel BSCCO	39
Gambar 4.7 Morfologi Sampel BTiSCCO perbesaran 500 X	39

Gambar 4.8 Morfologi Sampel BTiSCCO perbesaran 1000 X	39
Gambar 4.9 Hasil Perbandingan Morfologi Sampel Perbesaran 2000 X	40
Gambar 4.10 Karakterisasi Sifat magnetic dengan Uji Meissner	41



THE  
*Character Building*  
UNIVERSITY